

УДК 535.37.096

## О ТЕМПЕРАТУРНОЙ ЗАВИСИМОСТИ СПЕКТРОВ ЛЮМИНЕСЦЕНЦИИ ВЯЗКИХ РАСТВОРОВ

Ю. Т. Мазуренко

Рассмотрено проявление сложного процесса ориентационной релаксации полярного растворителя в температурном смещении спектра люминесценции раствора. Результаты вычислений сравнены с опытом. Показано, что температурная зависимость спектра люминесценции спиртовых растворов может быть удовлетворительно описана при учете трех времен релаксации растворителя.

В ряде работ [1-8] описан характерный коротковолновый сдвиг спектра люминесценции, наблюдаемый при охлаждении полярных растворов сложных молекул и отвечающий области температур, в которой время ориентационной дипольной релаксации растворителя ( $\tau_d$ ) сопоставимо с длительностью люминесценции ( $\tau_f$ ). Эта особенность растворов в полярных средах вызывается следующими причинами. Если при возбуждении молекулы изменяется ее дипольный момент, то должна измениться и энергия ее диполь-дипольного взаимодействия с окружением. Изменение энергии взаимодействия происходит со скоростью ориентационной релаксации в растворителе, поэтому степень его завершенности, а также сдвиг спектра люминесценции зависят от соотношения времен  $\tau_d$ ,  $\tau_f$  и, следовательно, от температуры [1-10].

Общее рассмотрение кинетики взаимодействия возбужденной молекулы с полярным окружением и его спектрально-кинетических проявлений выполнено на основе модели Онзагера в работе [10]. Положение спектра люминесценции в зависимости от времени  $t$  пребывания молекулы в возбужденном состоянии описывается, согласно [10], выражением

$$\xi(t) = \xi_0 - \frac{1}{\hbar c} (K_0 - K_\infty) (\mu_g^0 - \mu_e^0)^2 A(t), \quad (1)$$

где  $\xi_0$  — положение спектра при  $t=0$  (т. е. в отсутствие релаксации);  $K(\varepsilon)$  — вытекающая из модели Онзагера функция диэлектрической проницаемости  $\varepsilon$

$$K(\varepsilon) = \frac{2(\varepsilon - 1)}{(2\varepsilon + 1) - 2(\varepsilon - 1) \frac{\alpha}{a^3}} \frac{1}{a^3}, \quad (2)$$

$\alpha$  — поляризуемость молекулы растворенного вещества;  $a$  — молекулярный (онзагеровский) радиус;  $K_0 = K(\varepsilon_0)$ ;  $K_\infty = K(n^2)$ ;  $\varepsilon_0$  — статическое значение  $\varepsilon$ ;  $n$  — показатель преломления в оптической области;  $\mu_g^0$ ,  $\mu_e^0$  — дипольные моменты молекулы растворенного вещества в основном и возбужденном состоянии;  $A(t)$  — безразмерная функция, изменяющаяся от 0 до 1 и описывающая кинетику релаксации действующего на молекулу поля среды. Функция  $A(t)$  зависит от характеристик релаксации ориентационной поляризации растворителя и может быть определена при Фурье-преобразовании спектра  $K(\omega)$

$$A(t)(K_0 - K_\infty) = \frac{1}{2\pi} \int_0^t \left\{ \int_{-\infty}^{+\infty} [K(\omega) - K_\infty] e^{-i\omega t} d\omega \right\} dt. \quad (3)$$

Спектр  $K(\omega)$  связан через (2) со спектром комплексной диэлектрической проницаемости  $\epsilon(\omega)$ .

Наблюдаемый на опыте спектр люминесценции является суммой «мгновенных» спектров, излученных в различные моменты времени  $t$ . Для центра тяжести суммарного спектра

$$\bar{v} = \int_{\nu} \int_{t} v I(v, t) d\nu dt / \int_{\nu} \int_{t} I(v, t) d\nu dt$$

нетрудно получить

$$\bar{v} = \bar{v}_0 - (\bar{v}_0 - \bar{v}_{\infty}) \tau_f^{-1} \int_0^{\infty} A(t) e^{-t/\tau_f} dt, \quad (4)$$

$$(\bar{v}_0 - \bar{v}_{\infty}) = \frac{1}{hc} (K_0 - K_{\infty}) (\mu_e^0 - \mu_g^0)^2, \quad (5)$$

где  $\bar{v}_0$  и  $\bar{v}_{\infty}$  — положения спектра при  $t=0$  и  $t=\infty$ . Выражение (4) позволяет определить температурную зависимость спектра, если известна зависимость функции  $A(t)$  от температуры. Простейшее приближение для  $A(t)$  вытекает из дебаевской модели полярной жидкости [11], согласно которой релаксация поляризации диэлектрика происходит по экспоненциальному закону. В этом случае  $A(t)=1-\exp(-t/\tau_R)$ , причем  $\tau_R$ , вообще говоря, отличается от времени диэлектрической релаксации  $\tau_d$  [10]. Температурная зависимость спектра люминесценции в случае дебаевской модели определяется выражением

$$\bar{v} = \bar{v}_0 - (\bar{v}_0 - \bar{v}_{\infty}) \frac{\tau_f}{\tau_f + \tau_R}. \quad (6)$$

Хотя выражение (6) правильно передает общий характер температурного смещения спектра, количественного совпадения расчета по (6) с опытом не наблюдается. Имеется систематическое расхождение, состоящее в том, что экспериментальная кривая целиком расположена в области температур более низких, чем кривая, вытекающая из выражения (6).

Как известно, подробные исследования диэлектрических свойств полярных жидкостей приводят к выводу, что процесс релаксации является более сложным, чем это следует из модели Дебая [12-16]. В усовершенствованной модели релаксация характеризуется суммой нескольких простых экспоненциальных процессов, с резко отличающимися временами. Рассмотрим применение этой более реалистичной модели к изучению температурной зависимости спектра люминесценции. В приближении нескольких ( $N$ ) времен релаксации спектр  $\epsilon(\omega)$  должен состоять из  $N$  смещенных дебаевских полос [11], каждая из которых отвечает своему времени релаксации  $\tau_d^{(k)}$

$$\epsilon(\omega) = n^2 + \sum_{k=1}^N \frac{\epsilon_0^{(k)} - \epsilon_{\infty}^{(k)}}{1 - i\omega\tau_d^{(k)}}, \quad (7)$$

где  $\epsilon_0^{(k)}$  и  $\epsilon_{\infty}^{(k)}$  — действительные величины, причем  $\epsilon_{\infty}^{(k)} = \epsilon_0^{(k+1)}$ ,  $\epsilon_0^{(1)} = \epsilon_0$ ,  $\epsilon_{\infty}^{(N)} = n^2$ ,  $\tau_d^{(k+1)} \ll \tau_d^{(k)}$ ,  $\tau_d^{(1)} = \tau_d$  — время релаксации, отвечающее основной (низкочастотной) полосе. Применяя к (7) формулу (2) с учетом того, что значения  $\tau_d^{(k)}$  отличаются в десятки раз и, следовательно, отдельные полосы  $\epsilon^{(k)}(\omega)$  перекрываются слабо, найдем

$$K(\omega) = K(n^2) + \sum_{k=1}^N \frac{K_0^{(k)} - K_{\infty}^{(k)}}{1 - i\omega\tau_R^{(k)}}, \quad (8)$$

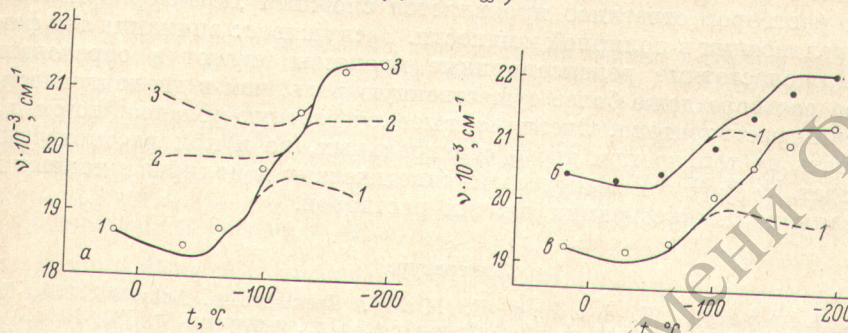
$$\tau_R^{(k)} = \tau_d^{(k)} \frac{(2\epsilon_{\infty}^{(k)} + 1) - (\epsilon_{\infty}^{(k)} - 1) \frac{2a}{a^3}}{(2\epsilon_0^{(k)} + 1) - (\epsilon_0^{(k)} - 1) \frac{2a}{a^3}}, \quad (9)$$

причем  $K_{\infty}^{(k)} = K_{0}^{(k+1)}$ ,  $K_0^{(1)} = K(\varepsilon_0)$ ,  $K_{\infty}^{(N)} = K(n^2)$ . Вытекающая из (8) и (3) функция  $A(t)$  содержит  $N$  экспонент, характеризующихся различными постоянными времени  $\tau_k^{(k)}$ . Подставляя  $A(t)$  в (4), получим

$$\bar{\nu} = \bar{\nu}_0 - \sum_{k=1}^N (\bar{\nu}_0^{(k)} - \bar{\nu}_{\infty}^{(k)}) \frac{\tau_f}{\tau_f + \tau_k^{(k)}}, \quad (10)$$

$$(\bar{\nu}_0^{(k)} - \bar{\nu}_{\infty}^{(k)}) = \frac{1}{hc} (K_0^{(k)} - K_{\infty}^{(k)}) (\mu_e^0 - \mu_g^0)^2. \quad (11)$$

Температурное смещение спектра люминесценции по (10) выглядит более сложно, чем по (6). При охлаждении раствора времена релаксации  $\tau_k^{(k)}$  (так же как и  $\tau_d^{(k)}$ ) увеличиваются. Поэтому при охлаждении последовательно осуществляются области температур, соответствующие условиям  $\tau_f \sim \tau_R^{(1)}$ ,  $\tau_f \sim \tau_R^{(2)}$  и т. д., в каждой из которых происходит частичное смещение спектра на величину  $(\bar{\nu}_0^{(k)} - \bar{\nu}_{\infty}^{(k)})$ .



Измеренные (точки) и вычисленные (сплошные линии) температурные зависимости спектров люминесценции растворов в *n*-пропаноле.

*a* — 4-аминофталимид, *b* — 3-аминофталимид, *c* — 3-монометиламинофталимид. Штриховые линии показывают вклад в температурное смещение спектра первой (1), второй (2) и третьей (3) областей дисперсии *n*-пропанола.

Анализ выражений (10), (11) с учетом характера зависимости (2)  $K(\varepsilon)$ , насыщающейся с увеличением  $\varepsilon$ , приводит к выводу, что даже слабые высокочастотные полосы  $\varepsilon^{(k)}(\omega)$  должны вносить существенный вклад в смещение спектра люминесценции. Например, в случае *n*-пропанола относительный вклад в статическое значение диэлектрической проницаемости трех областей дисперсии (отвечающих трем временам релаксации) составляет при  $-150^\circ\text{C}$  (начиная от низкочастотной области) 0.96 : 0.03 : 0.01. Те же области дисперсии вносят вклад в  $K_0$  (и, следовательно, в смещение спектра) в пропорции 0.46 : 0.26 : 0.28. Приведенная оценка непосредственным образом указывает на важность учета высокочастотных областей дисперсии растворителя и, следовательно, на значительную приближенность формулы (6).

Перейдем к сопоставлению полученных результатов с опытом. Спектры диэлектрической проницаемости в наиболее широком диапазоне частот исследованы для *n*-пропанола [14, 15]. Для этой жидкости прослежены температурные зависимости трех времен релаксации. С другой стороны, в работе [8] проведены температурные измерения спектров и длительности люминесценции растворов в *n*-пропаноле ряда производных фталимида. Указанные результаты поэтому были выбраны для сопоставлений расчета и опыта. При вычислении теоретических зависимостей по (10), (11), (2) в качестве опорных точек были использованы взятые из опыта положения спектров при  $-196^\circ\text{C}$ , когда релаксация за время  $\tau_f$  практически не происходит, и при  $+20^\circ\text{C}$ , когда за время  $\tau_f$  релаксация осуществляется полностью.<sup>1</sup> При отсутствии релаксации растворитель не увеличивает

<sup>1</sup> Длительность люминесценции рассматриваемых растворов имеет порядок  $10^{-8}$  сек. [8].

стоксов сдвиг спектров поглощения и люминесценции, поэтому слабая температурная зависимость  $\bar{\nu}_0$  могла быть учтена по данным [8] о температурной зависимости спектра поглощения. Использование указанных исходных данных позволило полностью исключить из вычислений величины  $\mu_e^0$ ,  $\mu_g^0$ ,  $a$ . Отношение  $a/a^3$  принималось равным 1/2 [17-20].

Результаты вычислений, учитывающих три времени релаксации  $n$ -пропанола, показаны в сопоставлении с данными опыта на рисунке. Там же показан вклад в смещение спектра трех областей дисперсии растворителя. Как видно из рисунка, учет высокочастотных релаксаций имеет решающее значение для соответствия теоретических и экспериментальных зависимостей. Проведение аналогичных расчетов для растворов в других спиртах затруднено из-за отсутствия достаточно подробных данных об их высокочастотной релаксации. Однако сходство диэлектрического поведения спиртов [12-16] дает основание полагать, что выводы настоящей работы должны быть общими для спиртовых растворов.

Таким образом, в температурной зависимости спектров люминесценции вязких растворов отчетливо проявляется сложный характер ориентационной релаксации в полярной жидкости. Заслуживает внимания тот факт, что высокочастотные релаксационные процессы играют в образовании спектра раствора даже более существенную роль, чем в диэлектрическом поведении растворителя. Очевидно, высокочастотную релаксацию следует учитывать не только при чисто спектральных, но и при рассмотренных в работах [9, 10, 21, 22] спектрально-кинетических и поляризационных исследованиях люминесценции вязких растворов.

#### Литература

- [1] F. Lippert, W. Luder, F. Moll. Spectrochim. Acta, 15, 858, 1959.
- [2] Л. Г. Пикулик, М. А. Соломахо. Опт. и спектр., 8, 338, 1960.
- [3] Л. Г. Пикулик, М. А. Соломахо. Изв. АН СССР, сер. физ., 22, 1931, 1958.
- [4] А. С. Черкасов, Г. И. Драгнева. Опт. и спектр., 10, 466, 1961.
- [5] А. С. Черкасов. Изв. АН СССР, сер. физ., 27, 758, 1963.
- [6] Л. Г. Пикулик, Ф. Ф. Дрейцер. ДАН БССР, 5, 57, 1961.
- [7] Ф. Ф. Дрейцер, Л. Г. Пикулик. ДАН БССР, 6, 560, 1962.
- [8] Н. Г. Бахшиев, И. В. Питерская. Опт. и спектр., 20, 783, 1966.
- [9] Н. Г. Бахшиев, Ю. Т. Мазуренко, И. В. Питерская. Изв. АН СССР, сер. физ., 32, 1360, 1968.
- [10] Ю. Т. Мазуренко, Н. Г. Бахшиев. Опт. и спектр., 28, 905, 1970.
- [11] Г. Фрелих. Теория диэлектриков. ИЛ, М., 1960.
- [12] Р. Х. Коул. Изв. АН СССР, сер. физ., 24, 4, 1960.
- [13] Н. Ф. Смайс. Изв. АН СССР, сер. физ., 24, 25, 1960.
- [14] S. K. Garg, C. R. Smyth. J. Phys. Chem., 69, 1294, 1965.
- [15] F. Buckley, A. A. Maguyott. NBS Circular 589, Washington, 1958.
- [16] C. R. Smyth. «Molecular Relaxation Processes», London Chem. Soc. L.—N. Y., 1966.
- [17] Ch. Böttcher. Theory of Electric Polarisation. Amsterdam, 1952.
- [18] Н. Г. Бахшиев. Опт. и спектр., 10, 717, 1964.
- [19] J. Schuyler. Rec. Trav. Chim., 72, 933, 1953.
- [20] L. Bilot, A. Kawski. Zs. Naturforsch., 18a, 10, 1963.
- [21] Н. Г. Бахшиев, Ю. Т. Мазуренко, И. В. Питерская. Опт. и спектр., 21, 550, 1966.
- [22] Ю. Т. Мазуренко, Н. Г. Бахшиев, И. В. Питерская. Опт. и спектр., 25, 92, 1968.

Поступило в Редакцию 23 декабря 1971 г.